———— СИНТЕЗ И СВОЙСТВА НЕОРГАНИЧЕСКИХ СОЕДИНЕНИЙ **———**

УЛК 546.271-386

НОВЫЙ МЕТОД ПОЛУЧЕНИЯ ПРОИЗВОДНЫХ *клозо*-БОРАТНЫХ АНИОНОВ НА ОСНОВЕ АЦЕТИЛАЦЕТОНА IP H NH-C(P)C(C(OH)CH)C(O)CH I PHO # = 10 12: P = Mo. Et

 $[B_nH_{n-1}NH=C(R)C(C(OH)CH_3)C(O)CH_3]^-$, где $n=10,\,12;\,R=Me,\,Et$

© 2024 г. А. В. Нелюбин^а, Н. А. Селиванов^а, А. Ю. Быков^а, А. С. Кубасов^а, И. Н. Клюкин^а, А. П. Жданов^а, *, К. Ю. Жижин^а, Н. Т. Кузнецов^а

^aИнститут общей и неорганической химии им. Н.С. Курнакова РАН, Ленинский пр-т, 31, Москва, 119991 Россия

*e-mail: zhdanov@igic.ras.ru

Поступила в редакцию 03.04.2024 г. После доработки 22.05.2024 г. Принята к публикации 22.05.2024 г.

Изучены процессы нуклеофильного присоединения ацетилацетона как С-нуклеофила к кратным связям нитрилиевых производных высших бороводородных анионов. Строение продуктов установлено методами мультиядерной ЯМР-спектроскопии, ESI-масс-спектрометрии и ИК-спектроскопии. Структура соединения (NBu₄)[2-B₁₀H₉NH=C(C₂H₅)C(C(OH)CH₃)C(O)CH₃] определена методом PCA монокристалла.

Ключевые слова: кластерные анионы бора, нуклеофильное присоединение, β-дикетоны

DOI: 10.31857/S0044457X24100028, EDN: JJKJYB

ВВЕДЕНИЕ

В настоящее время бор и его соединения широко используются в неорганической, органической, металлоорганической и медицинской химии [1]. Кластерные соединения бора находят применение при создании оптических и фотовольтаических устройств [2—5], защитных покрытий и полимеров [6, 7], противовирусных и противомикробных препаратов [8—11]. Основной интерес кластеры бора представляют при создании препаратов для бор-нейтронозахватной терапии (**БНЗТ**), основанной на высокой склонности бора ¹⁰В поглощать нейтрон и дальнейшей ядерной реакции [12—15].

Одной из важных проблем в разработке веществ для БНЗТ является изучение распределения и накопления изотопов бора в тканях и органах. Получение соединений тераностиков, объединяющих в себе кластерный фрагмент и функциональную группу для визуализации, например ион гадолиния для контрастной КТ, может способствовать решению данной задачи [16—19].

Удобным методом функционализации кластерных анионов бора являются процессы нуклеофильного присоединения к кратным связям нитрилиевых производных. Данные соединения могут вступать в реакцию с широким кругом нуклеофильных реагентов [20—31], в том числе биологически активных [32—34].

В настоящей работе в качестве нуклеофильного реагента использован ацетилацетон, который является амбидентным нуклеофилом. Показано, что реакция протекает исключительно с образованием продукта С-иминоацилирования.

ЭКСПЕРИМЕНТАЛЬНАЯ ЧАСТЬ

ИК-спектры соединений записывали на ИК-Фурье-спектрофотометре Инфралюм ФТ-08 (НПФ АП "Люмекс") в области $4000-600~{\rm cm^{-1}}$ с разрешением $1~{\rm cm^{-1}}$. Образцы готовили в виде таблеток в безводном бромиде калия.

Спектры ЯМР на ядрах 1 H, 11 B, 13 C регистрировали на импульсном Фурье-спектрометре Bruker AVANCE-II 300 (Германия) на частотах 300.3, 96.32 и 75.49 МГц соответственно с внутренней стабилизацией по дейтерию. Образцы готовили в виде растворов в $CD_{2}Cl_{2}$.

ESI-масс-спектры высокого разрешения растворов исследуемых веществ в ацетонитриле записывали на спектрометре LCMS-IT-TOF (Shimadzu, Япония) в режиме прямого введения в диапазоне m/z от 120 до 700 Да. Напряжение детектора 1.55 кВ, напряжение ЭСИ 4.50 кВ. Перед анализом проводили калибровку масс и проверку чувствительности оборудования.

Растворители и реагенты марок "х. ч." и "о. с. ч." приобретали в коммерческих источ-

никах (Химмед, ABCR, Sigma-Aldrich) и использовали без дополнительной очистки.

Рентгеноструктурный анализ. Кристаллы $(NBu_{1})[2-B_{10}H_{0}NH=C(C_{2}H_{5})C(C(OH)CH_{1})C(O)CH_{2}]$ были получены изотермическим упариванием соответствующих солей из смеси этанол/изопропанол. Набор дифракционных отражений для кристалла получен в Центре коллективного пользования ИОНХ РАН на автоматическом дифрактометре Bruker SMART APEX2 (MoK_2 -излучение, графитовый монохроматор, ω-ф-сканирование). Данные были проиндексированы интегрированы с помощью программы SAINT [35]. Применяли поправку на поглощение, основанную на измерениях эквивалентных отражений (SADABS) [36]. Структуры расшифрованы прямым методом с последующим расчетом разностных синтезов Фурье. Все неводородные атомы уточнены в анизотропном приближении. Все атомы водорода уточнены по модели "наездника" с тепловыми параметрами $U_{_{
m H3O}}=1.2U_{_{
m 9KB}}\,(U_{_{
m H3O}})$ соответствующего неводородного атома (1.5 $U_{_{
m H3O}}$ для ${
m CH_3}$ -групп).

Все расчеты проводили с использованием программы SHELXTL [37]. Структура расшифрована и уточнена с помощью программного комплекса OLEX2 [38]. Кристаллографические данные депонированы в Кембриджском банке структурных данных (ССDС № 2355543).

Нитрилиевые производные (Et_4N) [$B_{12}H_{11}NCR$] (R=Me (1), Et (2)) и (Bu_4N) [$2-B_{10}H_9NCR$ '] (R'=Me (3), Et (4)) синтезировали согласно [23, 39].

 $(Et_4N)[B_{12}H_{11}(NHC(C(C(OH)CH_3)C(O)CH_3)CH_3)]$ (5). Растворяли 0.312 г (1 ммоль) $(Et_4N)(1)$ в 10 мл безводного ацетонитрила. Добавляли 1 мл ацетилацетона и 0.008 г безводного ацетата натрия. Реакционную массу кипятили в течение 2 ч. После охлаждения до комнатной температуры реакционную массу концентрировали на роторном испарителе до маслообразного состояния. Полученный продукт перекристаллизовывали из уксусной кислоты и сушили в вакууме. Выход $(Et_4N)[B_{12}H_{11}(NHC(C(C(OH)CH_3)C(O)CH_3)CH_3)]$ составил 66 %.

¹¹В{H} ЯМР-спектр (CD₂Cl₂, δ , м.д.): -5.6 (c, 1B, B–N), -15.8 (c, 11B, B–H(B2–B12)).
¹Н ЯМР-спектр (CD₂Cl₂, δ , м.д.): 10.5 (c, 1H, =C–O<u>H</u>), 9.84 (c, 1H, N<u>H</u>–C=CH), 3.27 (8H, Et₄N), 2.55 (c, 3H, NH=C–C<u>H</u>₃), 2.24, 2.20 (c, 6H, C(O)C<u>H</u>₃)₂), 1.33 (12H, Et₄N), 2.5–0.0 (м, 11H, B–H).
¹³C{H} ЯМР-спектр (CD₂Cl₂, δ , м.д.): 190.9 (CH₃C(OH)=CH), 189.7 (CH₃C(O)-CH), 162.5 (NH=<u>C</u>H), 110.1 (C(OH)=<u>C</u>H–C(O)), 53.1 (Et₄N),

25.2 ($\underline{\text{CH}}_3\text{C}$), 21.4 (NH=C-CH₃), 7.7 ($\underline{\text{Et}}_4\text{N}$). ИК-спектр (CH₂Cl₂, см⁻¹): 3536 v(O-H), 3253, 3200 v(N-H), 2487 v(B-H), 1632 v(C=N). MS(ESI) m/z = 282.2949 (найдено для [$\underline{\text{B}}_{12}\text{H}_{11}$ (NHC(C(C(OH)CH₃)C(O)CH₃)CH₃)], вычислено для {[A]-} 282.2840).

 $(Et_4N)[B_{12}H_{11}(NHC(C(C(OH)CH_3)C(O)CH_3)C_2H_5)]$ (6) получали по аналогичной методике. Выход $(Et_4N)[B_{12}H_{11}(NHC(C(C(OH)CH_3)C(O)CH_3)C_2H_5)]$ составил 73 %.

 11 В{H} ЯМР-спектр (CD,Cl,, δ , м.д.): -5.7(c, 1B, B-N), -15.3 (c, 11B, B-H(B2-B12)).¹Н ЯМР-спектр (CD₂Cl₂, δ, м.д.): 9.42 (с, 1H, =C-OH), 9.09 (c, 1H, NH-C=CH), 3.27 (8H, Et₄N), 2.78 (K, 2H, CH₂CH₃, J = 7.29 Γ _H), 2.06 (c, 6H, C(O)C \underline{H}_3)₂), $\overline{1.33}$ (12H, Et₄N), 1.26 (T, 3H, CH₂C \underline{H}_3 J = 7.35 Γ_{II}), 2.5 $-\vec{0}$.0 (M, 11H, B-H). 15 C{H} ЯМР-спектр (CD₂Cl₂, δ , м.д.): $(CH, \underline{C}(OH) = CH),$ 190.1 186.9 (CH₂C(O)-181.8 (NH=CH), 109.6 (C(OH)=CH-CH), C(O)), 53.1 (Et₄N), 24.5 (<u>C</u>H₂CH₃), 24.5 (C(O) CH_{2}), 9.3 ($CH_{2}CH_{2}$), 7.7 (Ét₄N). ИК-спектр $(CH_2Cl_2, cM^{-1}): 3255, 3224 \nu(N-H), 2492 \nu(B-H),$ 1631^{2} v(C=N). MS(ESI) m/z = 296.2994 (найдено для $[B_{12}H_{11}(NHC(C(C(OH)CH_2)C(O)CH_2)C_2H_5)]$, вычислено для {[А-Н]-} 296.2996).

 $(Bu_4N)[2-B_{10}H_9(NHC(C(C(OH)CH_3)C(O)CH_3)CH_3)]$ (7) получали по аналогичной методике. Выход $(Bu_4N)[2-B_{10}H_9(NHC(C(C(OH)CH_3)C(O)CH_3)CH_3)]$ составил 88 %.

¹¹В ЯМР-спектр (CD₂Cl₂, δ, м.д.): 0.2 (д, 1B, B(10), $J^{B-H} = 147 \Gamma_{\text{II}}$, $-3.4 (\pi, 1B, B(1), -3.4)$ $J^{B-H} = 147 \Gamma_{\text{H}}$), -13.9 (c, 1B, B(2)), -25.0 (д, 4B, B(3, 5, 6, 9), $J^{B-H} = 132 \Gamma_{II}$, -28.8 (д. 3B.) $B(4, 7, 8), J^{B-H} = 133 \Gamma_{\rm H}).$ ¹H ЯМР-спектр $(CD_2Cl_2, \delta, M.д.)$: 9.74 (c, 1H, =C-O<u>H</u>), 8.96 (c, 1H, $N\underline{H}$ -C=CH), 3.20 (8H, Bu₄N), 2.60(c, 3H, NH= $C-C\underline{H}_{2}$), 2.06 (c, 6H, $C(O)C\underline{H}_{2}$), 1.63 $(8H, Bu_4N)$, 1.47 $(8H, Bu_4N)$, 1.02 $(12H, Bu_4N)$, 4.5...-0.5 (м, 10H, B-H). ¹³С{H} ЯМР-спектр $(CD_2Cl_3, \delta, M.д.)$: 191.2 $(CH_2C(OH)=CH)$, $189.\overline{5}$ (CH,C(O)-CH), 160.3 (NH=CH), 110.2 $(C(OH) = \underline{CH} - C(O)), 59.2 (Bu_4N), 25.3 (\underline{CH}_3C),$ $24.5 (Bu_4N)$, $22.3 (NH=C-CH_2)$, $20.4 (Bu_4N)$, 14.0 (Bu_4N) . ИК-спектр (CH_2Cl_2, cm^{-1}) : 3540 $\nu(O-H)$, 3532 v(O-H), 3254, 3234 v(N-H), 2490 v(B-H), 1633 ν (C=N). MS(ESI) m/z = 258.2499 (найдено для $[B_{10}H_0(NHC(C(C(OH)CH_2)C(O)CH_2)CH_2)],$ вычислено для {[А]-} 258.2497).

 $(Bu_4N)[2-B_{10}H_9(NHC(C(C(OH)CH_3)C(O)CH_3)C_2H_5)]$ (8) получали по аналогичной методике. Выход $(Bu_4N)[B_{12}H_{11}(NHC(C(C(OH)CH_3)C(O)CH_3)C_2H_5)]$ составил 62 %.

ЯМР-спектр (CD₂Cl₂, δ , м.д.): 0.6 (д, 1В, B(10), $J^{B-H} = 146 \Gamma_{\text{II}}$), -3.1 (д, 1В, B(1), $J^{B-H} = 147 \Gamma \mu$, -13.9 (c, 1B, B(2)), -25.3 (д, 4B, $B(3, 5, 6, 9), J^{B-H} = 155 \Gamma \mu, -28.8 (д, 3B, B(4, 7, 8),$ $J^{B-H} = 132 \, \Gamma_{\text{U}}$). ¹H ЯМР-спектр (CD₂Cl₂, δ , м.д.): 9.30 (c, 1H, N \underline{H} -C=CH), 8.93 (c, 1 \overline{H} , =C-O \underline{H}), 3.13 (8H, Bu₄N), 2.61 (κ , 2H, NH=C-CH₂-CH₃, J = 7.35 $\Gamma_{\text{H.}}$), 2.06 (c, 6H, C(O)C $\underline{\text{H}}_{2}$), 1. $\overline{\text{60}}$ (8H, $Bu_{4}N$), 1.45(8H, $Bu_{4}N$), 1.15(T, $3H^{2}$, NH=C- $CH_{2}-C\underline{H}_{3}$, $J=7.59 \Gamma \underline{I}$, 1.02 (12H, $Bu_{4}N$), 4.5–0.5 (м, 10H, B-H). ¹³С{H} ЯМР-спектр (CD₂Cl₂, δ , м.д.): 190.3 (СН, \underline{C} (ОН)=СН), 189.1 (СН, \underline{C} (\dot{O})-CH), 182.5 (NH=CH), 109.5 (C(OH)=CH-C(O)), 58.9 (Bu₄N), 24.5 ($C(O)CH_2$), 24.0 (Bu₄N), 23.8 ($\underline{C}H_2CH_2$), 19.7 ($\underline{B}u_4N$), 13.4 ($\underline{B}u_4N$), 9.0 (CH_2CH_3). UK-cnektp (CH_2Cl_2 , cm^{-1}): 3531 $\nu(O-H)$, 3254, 3229 $\nu(N-H)$, 2495 $\nu(B-H)$, 1643 ν (C=N). MS(ESI) m/z = 272.2631 (найдено для $[B_{\iota o}H_o(NHC(C(C(OH)CH_o)C(O)CH_o)C_oH_e)]$, вычислено для {[А]-} 272.2654).

РЕЗУЛЬТАТЫ И ОБСУЖЛЕНИЕ

На данный момент известно лишь несколько примеров нуклеофильного присоединения С-нуклеофилов к нитрилиевым производным клозо-боратных анионов. Отдельный интерес представляют соединения с активированной метиленовой группой. При использовании в качестве нуклеофилов малоосновных карбоанионов, например ацетилацетонат-аниона, которые могут быть депротонированы мягкими основаниями, такими как ацетат натрия, процесс нуклеофильного присоединения к анионам $[B_{12}H_{11}NCR]^-$ протекает без образования побочных продуктов гидролиза (рис. 1).

Полноту реакции контролировали с помощью 11 B{H} ЯМР-спектроскопии. В спектрах полученных производных сигнал от замещенного атома бора лежит в области -5.6...-5.7 м.д.

Сигналы от незамещенных атомов бора лежат в области -15.3...-15.8 м.д.

Строение полученных производных устанавлено с помощью 1Н и 13С{Н} ЯМР- и ИК-спектроскопии, методами ESI-HR масс-спектрометрии. В спектрах ¹Н ЯМР иминовый фрагмент представлен сигналами протонов при атоме азота в области 9.8...9.1 м.д. и сигналами протонов алкильной цепи заместителя. Ацетилацетонатный фрагмент представлен сигналом группы О-Н в области 10.5...9.4 м.д. и сигналами протонов метильных групп в области 2.1...2.0 м.д. В спектрах ¹³С{Н} ЯМР ацетилацетонатный фрагмент представлен группой сигналов неэквивалентных карбонильных групп в области 192...185 м.д., сигналами неэквивалентных четвертичных атомов углерода в области 115...110 м.д. и одним сигналом от атомов углерода метильных групп. Присутствие двух сигналов от неэквивалентных четвертичных атомов углерода свидетельствует о малой стереоселективности процесса присоединения ацетилацетона, связанной с отсутствием внутримолекулярных протон-гидридных взаимодействий. Однако отсутствие в ¹Н ЯМР-спектре уширенного синглета в области 8.0...6.0 свидетельствует о высокой региоселективности данной реакции и отсутствии продукта имидатной структуры.

Аналогично протекает реакция депротонированной формы ацетилацетона с нитрилиевыми производными клозо-декаборатного аниона (рис. 2). Следует отметить, что строение нитрилиевого заместителя и природа противоиона слабо сказываются на процессе присоединения.

Контроль полноты протекания реакции осуществляли методом ${}^{11}B$ -{H} ЯМР-спектроскопии. В спектрах продуктов сигналы от апикальных атомов бора проявляются в диапазонах 0.3...0.2 м.д. [B(10), I = 1] и -3.0...-3.5 м.д. [B(1), I = 1]. Сигнал от замещенного атома бора B(2) наблюдается при -13.8...-13.9 м.д., сигналы от

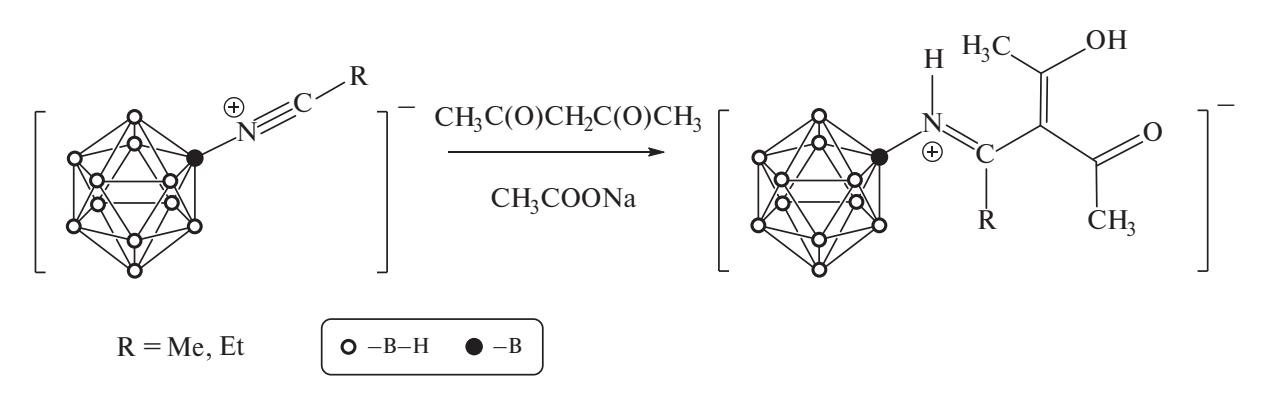


Рис. 1. Схема реакции нуклеофильного присоединения ацетилацетона к анионам $[B_{12}H_{11}NCR]^-$ (R = Me, Et).

$$\begin{array}{c} R' \\ \hline \\ CH_3C(O)CH_2C(O)CH_3 \\ \hline \\ CH_3COONa \\ \hline \end{array}$$

$$\begin{array}{c} H \\ O \\ H \\ O \\ R' \\ \end{array}$$

$$\begin{array}{c} H \\ O \\ R' \\ \end{array}$$

Рис. 2. Схема реакции нуклеофильного присоединения ацетилацетона к анионам [2- $B_{10}H_0NCR$] (R = Me, Et).

незамещенных экваториальных вершин борного кластера — при —25.5...—26.5, —27.5...—27.9 м.д. Строение синтезированных коньюгатов клозодекаборатного аниона и ацетилацетона устанавливали с помощью мультиядерной ЯМРспектроскопии. В спектрах ¹Н ЯМР полученных соединений иминовый фрагмент представлен сигналами протонов при атоме азота в области 9.3...8.9 м.д. и сигналами протонов алкильной цепи заместителя. Ацетилацетонатный фрагмент представлен сигналом группы О—Н в обламет.

сти 9.5...8.5 м.д. и сигналом протонов метильной группы в области 2.1...2.0 м.д.

Для одного из продуктов — $[2-B_{10}H_9NH=C(C_2H_5)C(C(OH)CH_3)C(O)CH_3]^-$ — методом PCA монокристалла установлена структура (рис. 3). Она состоит из тетрабутиламмониевых катионов и замещенных *клозо*-декаборатных анионов. Заместитель иминного типа расположен в экваториальной позиции. Связь бор—азот является одинарной, ее длина составляет 1.530 Å. Иминный фрагмент находится в Z-конфигурации.

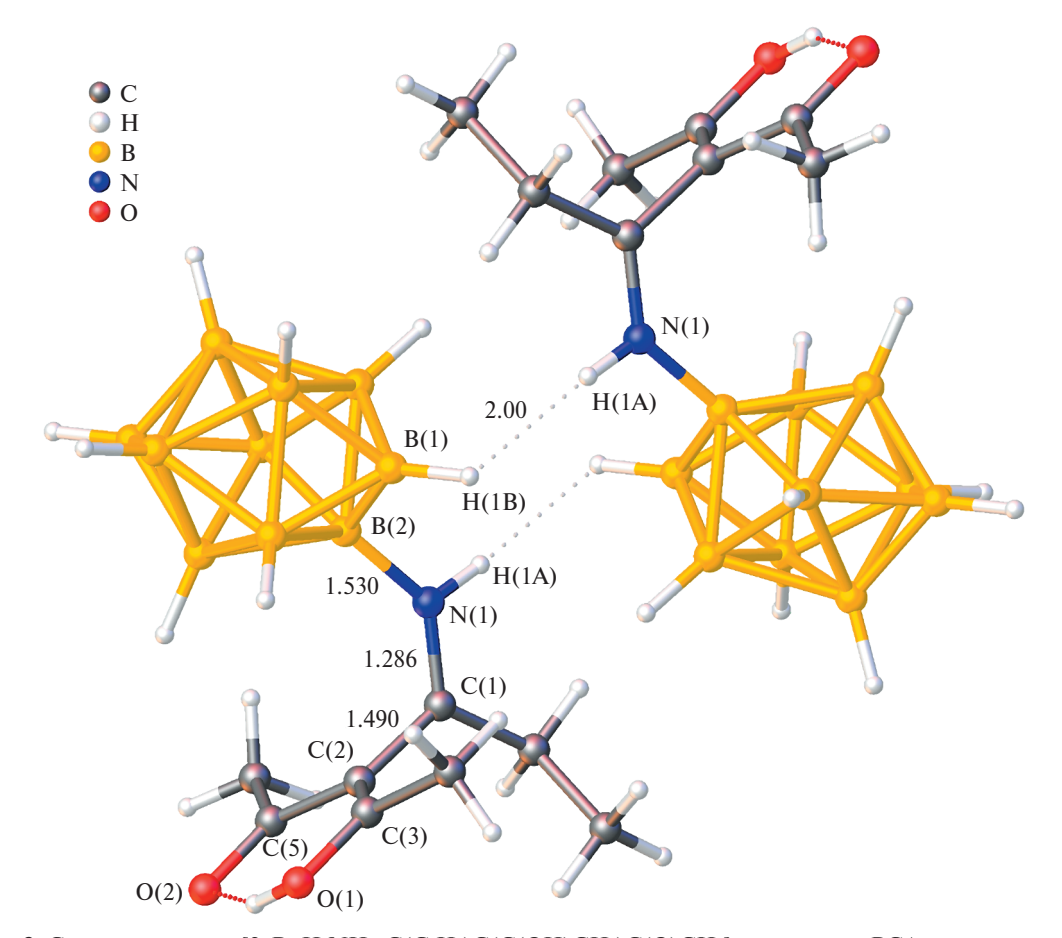


Рис. 3. Строение аниона [2- $B_{10}H_0$ NH= $C(C_2H_2)C(C(OH)CH_2)C(O)CH_3$] по данным РСА монокристалла.

ЖУРНАЛ НЕОРГАНИЧЕСКОЙ ХИМИИ том 69 № 10 2024

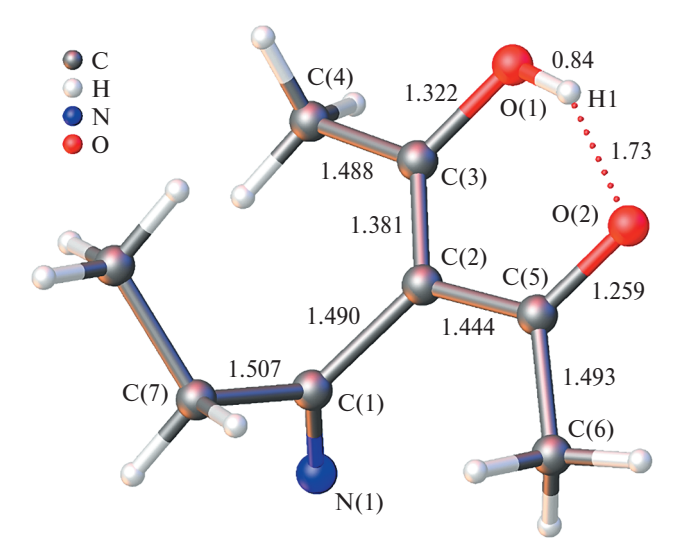


Рис. 4. Водородные связи в ацетилацетонатном фрагменте.

Таблица 1. Геометрические параметры водородных связей в структуре **8**

D–H···A	Расстояние, Å			Угол
	D–H	Н…А	D···A	DHA,
				град
$O(1)-H(1)\cdots O(2)$	0.840	1.733	2.487	148
N(1)-H(1A) ···H(1B)	0.880	1.998	2.867	169

Длина связи N(1)C(1) составляет 1.285 Å, что соответствует длине двойной связи [40]. Стабилизация геометрической конфигурации экзополиэдрического заместителя, вероятно, обусловлена стерическими факторами.

Ацетилацетонатный фрагмент в структуре присутствует в енольной форме, его структура представляет собой искаженный шестичленный цикл, стабилизированный внутримолекулярной водородной связью O(2)...H(1)O(1) (рис. 4). Циклический фрагмент практически плоский. Так, диэдральные углы O(1)C(3)C(2)C(5) и C(3)C(2) C(5)O(2) составляют 4.0° и –5.1° соответственно. Кроме того, в структуре присутствуют межмолекулярные диводородные связи между протоном иминной группы и атомом водорода соседнего бороводородного кластера. Данные взаимодействия обуславливают образование димерных структурных фрагментов из замещенных анионов. Параметры водородных связей приведены в табл. 1.

ЗАКЛЮЧЕНИЕ

Изучен процесс нуклеофильного присоединения ацетилацетона к нитрилиевым производным $[B_n H_{n-1} NCR]^-$ (n = 10, 12; R = Me, Et). Показано, что реакция протекает регио- и сте-

реоселективно с образованием продуктов иминного типа с *Z*-конфигурацией двойной связи.

БЛАГОДАРНОСТЬ

Работа выполнена с использованием оборудования ЦКП ФМИ ИОНХ РАН, функционирующего при поддержке государственного задания ИОНХ РАН в области фундаментальных научных исследований.

ФИНАНСИРОВАНИЕ РАБОТЫ

Работа выполнена при поддержке Российского научного фонда (грант № 21-73-10292), https://rscf. ru/project/21-73-10292/

КОНФЛИКТ ИНТЕРЕСОВ

Авторы заявляют, что у них нет конфликта интересов.

СПИСОК ЛИТЕРАТУРЫ

- 1. *Hosmane N.S.*, *Eagling R.* // Handbook of Boron Science. World Scientific (Europe), 2018. V. 4. https://doi.org/10.1142/q0130-vol4
- 2. *Kapuscinski S., Abdulmojeed M.B., Schafer T.E. et al.* // Inorg. Chem. Front. 2021. V. 8. № 4. P. 1066. https://doi.org/10.1039/d0qi01353f
- 3. *Jacob L., Rzeszotarska E., Koyioni M. et al.* // Chem. Mater. 2022. V. 34. № 14. P. 6476. https://doi.org/10.1021/acs.chemmater.2c01165
- Duchêne L., Kim D.H., Song Y.B. et al. // Energy Storage Mater. 2020. V. 26. P. 543. https://doi.org/10.1016/j.ensm.2019.11.027
- 5. *Brighi M., Murgia F., Łodziana Z. et al.* // J. Power Sources. 2018. V. 404. P. 7. https://doi.org/10.1016/j.jpowsour.2018.09.085
- 6. *Yapryntsev A.D., Bykov A.Yu., Baranchikov A.E. et al.* // Inorg. Chem. 2017. V. 56. № 6. P. 3421. https://doi.org/10.1021/acs.inorgchem.6b02948
- 7. Stepanova M., Dobrodumov A., Averianov I. et al. // Polymers (Basel). 2022. V. 14. № 18. P. 3864. https://doi.org/10.3390/polym14183864
- 8. Avdeeva V.V., Garaev T.M., Breslav N.V. et al. // J. Biol. Inorg. Chem. 2022. V. 27. P. 421. https://doi.org/10.1007/s00775-022-01937-4
- 9. *Matveev E.Yu., Garaev T.M., Novikov S.S. et al.* // Russ. J. Inorg. Chem. 2023. V. 68. № 6. P. 670. https://doi.org/10.1134/S0036023623600533
- Sun Y., Zhang J., Zhang Y. et al. // Chem. Eur. J. 2018.
 V. 24. № 41. P. 10364.
 https://doi.org/10.1002/chem.201801602
- 11. *Hamdaoui M., Varkhedkar R., Sun J. et al.* // Synth. Inorg. Chem. 2021. P. 343. https://doi.org/10.1016/B978-0-12-818429-5.00007-7
- 12. *Seneviratne D.S., Saifi O., Mackeyev Y. et al.* // Cells. 2023. V. 12. № 10. P. 1398. https://doi.org/10.3390/cells12101398
- 13. *Novopashina D.S., Vorobyeva M.A., Venyaminova A.* // Front. Chem. 2021. V. 9. № March. P. 1. https://doi.org/10.3389/fchem.2021.619052

- 14. *Zhang Z., Chong Y., Liu Y. et al.* // Cancers (Basel). 2023. V. 15. № 16. P. 4060. https://doi.org/10.3390/cancers15164060
- 15. *Suzuki M.* // Int. J. Clin. Oncol. 2020. V. 25. № 1. P. 43. https://doi.org/10.1007/s10147-019-01480-4
- 16. *Akimov S.S.*, *Matveev E.Yu.*, *Kubasov A.S. et al.* // Russ. Chem. Bull. 2013. V. 62. № 6. P. 1417. https://doi.org/10.1007/s11172-013-0204-0
- 17. *Goswami L.N., Ma L., Chakravarty S. et al.* // Inorg. Chem. 2013. V. 52. № 4. P. 1694. https://doi.org/10.1021/ic3017613
- 18. Popova T. V., Pyshnaya I.A., Zakharova O.D. et al. // Biomedicines. 2021. V. 9. № 1. P. 1. https://doi.org/10.3390/biomedicines9010074
- 19. *Li J.*, *Shi Y.*, *Zhang Z. et al.* // Bioconjug. Chem. 2019. V. 30. № 11. P. 2870. https://doi.org/10.1021/acs.bioconjchem.9b00578
- 20. Zhdanov A.P., Nelyubin A.V., Klyukin I.N. et al. // Russ. J. Inorg. Chem. 2019. V. 64. № 7. P. 841. https://doi.org/10.1134/S0036023619070180
- 21. *Nelyubin A.V., Klyukvin I.N., Selivanov N.A. et al.* // Russ. J. Inorg. Chem. 2023. V. 68. № 6. P. 684. https://doi.org/10.1134/S003602362360048X
- 22. *Nelyubin A.V., Sokolov M.S., Selivanov N.A. et al.* // Russ. J. Inorg. Chem. 2022. V. 67. № 11. P. 1751. https://doi.org/10.1134/S003602362260109X
- 23. *Nelyubin A.V., Selivanov N.A., Bykov A.Yu. et al.* // Int. J. Mol. Sci. 2021. V. 22. № 24. P. 13391. https://doi.org/10.3390/ijms222413391
- 24. *Zhdanov A.P.*, *Polyakova I.N.*, *Razgonyaeva G.A. et al.* // Russ. J. Inorg. Chem. 2011. V. 56. № 6. https://doi.org/10.1134/S003602361106026X
- Zhdanov A.P., Klyukin I.N., Bykov A.Yu. et al. // Polyhedron. 2017. V. 123. P. 176. https://doi.org/10.1016/j.poly.2016.11.035
- 26. *Daines E.A., Bolotin D.S., Bokach N.A. et al.* // Inorg. Chim. Acta. 2018. V. 471. P. 372. https://doi.org/10.1016/j.ica.2017.11.054
- 27. *Mindich A.L.*, *Bokach N.A.*, *Kuznetsov M.L. et al.* // Organometallics. 2013. V. 32. № 21. P. 6576. https://doi.org/10.1021/om400892x

- 28. *Mindich A.L., Bokach N.A., Kuznetsov M.L. et al.* // ChemPlusChem. 2012. V. 77. № 12. P. 1075. https://doi.org/10.1002/cplu.201200257
- 29. Burianova V.K., Bolotin D.S., Novikov A.S. et al. // Inorg. Chim. Acta. 2018. V. 482. P. 838. https://doi.org/10.1016/j.ica.2018.07.038
- 30. *Stogniy M.Y., Erokhina S.A., Sivaev I.B. et al.* // Phosphorus, Sulfur Silicon Relat. Elem. 2019. V. 194. № 10. P. 983. https://doi.org/10.1080/10426507.2019.1631312
- 31. *Laskova J., Ananiev I., Kosenko I. et al.* // Dalton Trans. 2022. V. 51. № 8. P. 3051. https://doi.org/10.1039/D1DT04174F
- 32. *Ezhov A.V.*, *Vyal'ba F.Y.*, *Kluykin I.N. et al.* // Macroheterocycles. 2017. V. 10. № 4–5. P. 505. https://doi.org/10.6060/mhc171254z
- 33. *Nelyubin A.V., Klyukin I.N., Novikov A.S. et al.* // Mendeleev Commun. 2021. V. 31. № 2. P. 201. https://doi.org/10.1016/j.mencom.2021.03.018
- 34. *Nelyubin A.V.*, *Selivanov N.A.*, *Klyukin I.N. et al.* // Russ. J. Inorg. Chem. 2021. V. 66. № 9. P. 1390. https://doi.org/10.1134/S0036023621090096
- 35. Bruker. SAINT. Bruker AXS Inc., Madison, WI, 2018.
- 36. *Sheldrick G.M.* (2008) SADABS, Version 2008/1. Bruker AXS Inc., Germany.
- 37. *Sheldrick G.M.* // Acta Crystallogr., Sect. A. 2015. V. 71. № 1. P. 3. https://doi.org/10.1107/S2053273314026370
- 38. *Dolomanov O.V., Bourhis L.J., Gildea R.J. et al.* // J. Appl. Crystallogr. 2009. V. 42. № 2. P. 339. https://doi.org/10.1107/S0021889808042726
- 39. Voinova V.V., Selivanov N.A., Plyushchenko I.V. et al. // Molecules. 2021. V. 26. № 1. P. 248. https://doi.org/10.3390/molecules26010248
- 40. *Allen F.H., Kennard O., Watson D.G. et al.* // J. Chem. Soc., Perkin Trans. 2. 1987. № 12. P. S1. https://doi.org/10.1039/p298700000s1

NEW METHOD FOR THE SYNTHESIS OF ACETYLACETONE-BASED closo-BORATE ANION DERIVATIVES

 $[B_n H_{n-1} NH = C(R)C(C(OH)CH_3)C(O)CH_3]^-$, WHERE n = 10, 12, R = Me, Et

A. V. Nelyubin^a, N. A. Selivanov^a, A. Yu. Bykov^a, A. S. Kubasov^a, I. N. Klyukin^a, A. P. Zhdanov^a, *, K. Yu. Zhizhin^a, N. T. Kuznetsov^a

^aKurnakov Institute of General and Inorganic Chemistry, Russian Academy of Sciences, Moscow, 119991 Russia *e-mail: zhdanov@igic.ras.ru

The processes of nucleophilic addition of acetylacetone as a C-nucleophile to multiple bonds of nitrile derivatives of boron cluster anions have been studied in this work. The structure of the products was established by multinuclear NMR spectroscopy, ESI-mass spectrometry, and IR spectroscopy. The structure of compound $(NBu_a)[2-B_{10}H_0NH=C(C_3H_a)C(C(OH)CH_a)C(O)CH_a]$ was established by single crystal X-ray analysis.

Keywords: boron cluster anions, nucleophilic addition, β-diketones